



JUGOSLOVENSKO DRUŠTVO
ZA MAŠINSKE ELEMENTE I
KONSTRUKCIJE

ZBORNIK RADOVA
SA NAUČNO - STRUČNOG SKUPA
ISTRAŽIVANJE I RAZVOJ MAŠINSKIH
ELEMENATA I SISTEMA

JAHORINA - IRMES '2002

1/2



Srpsko Sarajevo - Jahorina
19. i 20. Septembar 2002. god.



UNIVERZITET U
SRPSKOM SARAJEVU
MAŠINSKI FAKULTET





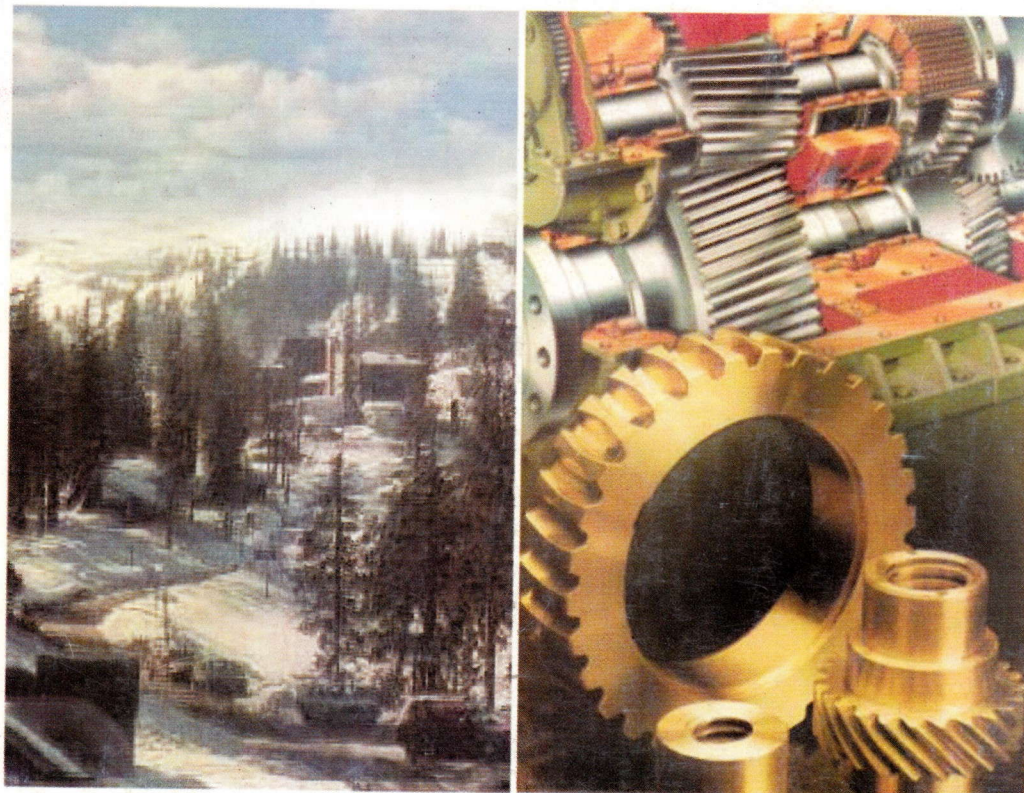
JUGOSLOVENSKO DRUŠTVO
ZA MAŠINSKE ELEMENTE I
KONSTRUKCIJE

ZBORNIK RADOVA

SA NAUČNO - STRUČNOG SKUPA
**ISTRAŽIVANJE I RAZVOJ MAŠINSKIH
ELEMENTA I SISTEMA**

JAHORINA - IRMES '2002

2/2



Srpsko Sarajevo - Jahorina
19. i 20. Septembar 2002. god.



UNIVERZITET U
SRPSKOM SARAJEVU
MAŠINSKI FAKULTET



**ZBORNIK RADOVA SA NAUČNO-STRUČNOG SKUPA
ISTRAŽIVANJE I RAZVOJ MAŠINSKIH ELEMENATA
I SISTEMA**

JAHORINA-IRMES 2002

1/2

Nosilac : JUGOSLOVENSKO DRUŠTVO ZA MAŠINSKE
ELEMENTE I KONSTRUKCIJE - *JuDEKO*
Beograd, ul. 27. marta br. 80

Organizator : MAŠINSKI FAKULTET SRPSKO SARAJEVO
Srpsko Sarajevo, Vuka Karadžića bb

Glavni i odgovorni urednik : Prof. dr Momir Šarenac

Pokrovitelj :

➤ MINISTARSTVO NAUKE I KULTURE REPUBLIKE SRPSKE

Tehnička priprema : Zoran Stikić

Tiraž : 200 primjeraka

Štampa: FOPIS, Srpsko Sarajevo

SADRŽAJ CONTENTS

1/2

PLENARNA SJEDNICA

Höhn B-R., Oster P., Tobie T., Steingrüber K. :	
EINSATZHÄRTUNGSTIEFE UND TRAGFÄHIGKEIT EINSATZGEHÄRTERER ZAHNRÄDER	1
Karaivanov D., Arnaudow K.: DIE ZUSAMMENGESETZTEN MEHRSTEG-PLANETENGETRIEBE IHRE, KOPPLUNGSARTEN UND GESETZ-MÄSSIGKEITEN	19
Šarenac M.: PERSPEKTIVE METALSKE INDUSTRIJE U ZEMLJAMA U TRANZICIJI I INTERES MLADIH ZA STUDIJE MAŠINSTVA	27
Miltenović V.: RAZVOJ PROIZVODA U FUNKCIJI OPSTANKA PREDUZEĆA NA TRŽIŠTU	33
Mihailidis A., Tsilingiridis G.: A WIND ENERGY CONVERTER WITHOUT ROTOR SHAFT	39

Sekcija A RAZVOJ MAŠINSKIH SISTEMA

Kuzmanović S.: ODLIKE SAVREMENIH PROIZVODA U MAŠINSTVU	45
Jovičić S., Marjanović N., Ćatić D.: FAZE I ALATI INTEGRALNOG RAZVOJA MAŠINSKIH SISTEMA	51
Tanasijević S.: ESTETSKA KOMPONENTA U DIZAJNU PROIZVODA	57
Radović V., Tomović R.: PRAKTIČNA METODA KONSTRUISANJA PROIZVODA	63
Leparov M., Dinev G.: ABOUT MODIFICATION OF MECHANICAL TRANSMISSION	69
Radovanović M.: KONSTRUKTIVNA REŠENJA KOMPONENTA LASERSKE MAŠINE ZA SEČENJE	75
Batalović V.: ROTOR CENTRIFUGALNOG SAMOMELJUĆEG MLINA - SPECIFIČNOSTI KONSTRUISANJA	81
Jevtić J.: POKRETNI SUDOVI POD PRITISKOM	87
Petković Z., Zrnić N.: DEVELOPMENT OF NEW CONCEPTS IN DESIGN OF DOCKSIDE CONTAINER CRANES	93
Zrnić N., Petković Z.: EVALUTION OF DESIGN SOLUTIONS FOR TROLLEY OF QUAYSIDE CONTAINER CRANES	99
Jovanović M., Mijajlović R., Marinković Z., Arsić M., Denić D.: UPRAVLJANJE PARALELNOŠĆU KRETANJA DIZALICA	105
Marković S., Marinković Z.: ANALIZA PROCESA ZAUSTAVLJANJA DIZALIČNIH MEHANIZAMA SA ZAZOROM	111
Alice C., I., Alic C.: RESEARCH AND EXPERIMENTAL INVESTIGATION ON THE BEHAVIOR IN EXPLOITATION OF METAL WORKSHOPS IN SIDERURGY	117
Alexa V., Ratiu S.: COMPLEX INSTALATION FOR THE RESEARCH ON LONGITUDINAL ROLLING PROCESS	123

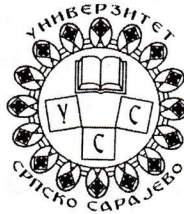
Miklos I., Z., Miklos I., Cioata V., G.: <i>EXPERIMENTAL TRAILS ON THE PROTECTION SYSTEM OF THE BLOOM TILTING MECHANISM</i>	129
Grigorova K.: A CONCEPT OF SUPPORTING ENGINEERING CHANGE MANAGEMENT	135

Sekcija B RADNA OPTEREĆENJA MAŠINSKIH SISTEMA

Mijajlović R., Marinković Z.: ANALIZA DINAMIČKOG FAKTORA U STANDARDIMA ZA DIZALICE	141
Janošević D., Jevtić V., Milić P.: ANALIZA UTICAJNIH PARAMETARA NA GRANIČNE SILE KOPANJA HIDRAULIČNIH BAGERA	147
Marinković Z., Marković S., Miltenović D., Marinković D.: SIMULACIJA PROCESA OPTEREĆENJA I NAPREZANJA VRATILA MEHANIZMA MAŠINA NA ELEKTROMOTORNI POGON	153
Stefanović S., Stamenković S., Jevremović V., Stošić M.: VUČNE KARAKTERISTIKE Fv(v) DIZEL LOKOMOTIVE SA MEHANIČKIM PRENOSOM SNAGE	159
Radosavljević A., Jovanović R.: PRILOG ODREDJIVANJU OSOVINSKOG OTPORA KRETANJA VOZA KAO FAKTORA RADNOG OPTEREĆENJA MEHANIČKOG SISTEMA VOZ-PRUGA	165
Prodanović R., Stevanović Z., Mirković S., Jovanović R.: UTICAJ KOLOSEKA NA UBRZANO TROŠENJE TOČKOVA NA JŽ I U SVETU	171
Prodanović R., Stevanović Z., Mirković S., Jovanović R.: BITNI UTICAJNI FAKTORI NA TROŠENJE TOČKOVA ŠINSKIH VOZILA SA POSEBNIM OSVRTOM NA TERETNA KOLA	177
Popa I., Popa G. N., Deaconu S.: THE DETERMINATION OF THE ELECTRIC MOTOR POWER THAT DRIVES THE BELT TRANSPORT CONVEYERS	183
Žepinić C.: SPOLJAŠNJE OPTEREĆENJE RADNE MAŠINE KAO SLUČAJNA FUNKCIJA	189

Sekcija C ZAMOR I RAZARANJA (LOM)

Kirić M., Sedmak A., Arsić M., Aleksić V.: PRIMENA DVOPARAMETARSKOG PRISTUPA MEHANIKE LOMA NA INTEGRITET KONSTRUKCIJA	195
Aleksić V., Sedmak A., Arsić M., Kirić M.: PRIMENA PARAMETARA MEHANIKE LOMA NA PROCENU INTEGRITETA ZAVARENIH KONSTRUKCIJA	201
Rakin M., Mijuća D., Zrnić N., Sedmak A.: NUMERIČKO PRAĆENJE RASTA PRSLINE U USLOVIMA NASTANKA ŽILAVOG LOMA ČELIKA	207
Šubara N., Stefanović S., Stojković S.: STANJE ZAMORA, ZBIRNO OŠTEĆENJE I PREOSTALI VEK U REALnim USLOVIMA EKSPLOATACIJE ..	213
Arsić M., Sedmak S., Aleksić V.: UTICAJ REDOSLEDA RADNOG OPTEREĆENJA NA BRZINU AKUMULACIJE OŠTEĆENJA NOSEĆE KONSTRUKCIJE ROTORNOG BAGERA	219
Posavljak S.: ISPITIVANJE OTPORNOSTI MATERIJALA NA MALOCIKLIČNI ZAMOR	225



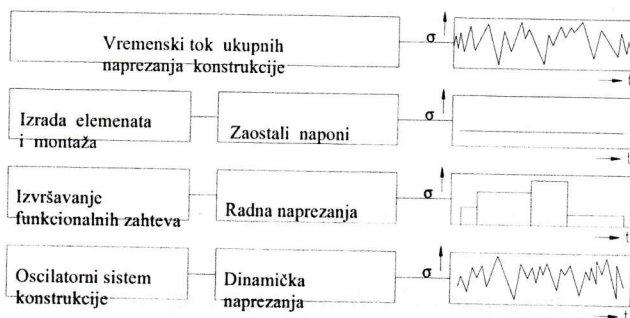
UTICAJ REDOSLEDA RADNOG OPTEREĆENJA NA BRZINU AKUMULACIJE OŠTEĆENJA NOSEĆE KONSTRUKCIJE ROTORNOG BAGERA

M. Arsić, S. Sedmak, V. Aleksić

U radu je na primeru procene veka trajanja jednog od nosećih čvorova na konstrukciji rotornog bagera, primenom linearnih hipoteza zasnovanih na akumulaciji oštećenja i rezultata eksperimentalnih ispitivanja, prikazan nedostatak postojećih hipoteza za proračun akumulacije oštećenja koje ne uzimaju u obzir redosleda radnih naponi, odnosno prepostavljaju istu brzinu akumulacije oštećenja za različite nivoe spektra opterećenja nezavisno od prethodne "istorije" opterećenja.

1.Uvod

Naprezanje noseće konstrukcije rotornog bagera nastaje u toku izrade elemenata i montaže, u procesu kopanja i usled sopstvenih niskofrekventnih oscilacija izazvanih pokretanjem celokupne mase bagera. Na sl.1 prikazan je vremenski tok složenog naprezanja konstrukcije i njegove komponente prema uzroku nastanka.



Slika 1. Prikaz rasčlanjenog ukupnog naprezanja prema uzroku nastanka

Za poznavanje uticaja nestacionarnosti režima opterećenja i sopstvenih niskofrekventnih oscilacija na radnu čvrstoću elemenata noseće konstrukcije rotornog bagera neophodno je poznavanje radnih naponi, koji se uspostavljaju pri dejstvu promenljivog opterećenja u različitim radnim režimima bagera, odnosno poznavanje spektra napona.

Radna čvrstoća elemenata noseće konstrukcije određuje se uglavnom na dva načina:

- eksperimentalnim programskim ispitivanjem uzoraka bliskih realnim ili ispitivanjem realnih elemenata noseće konstrukcije, pri čemu je režim ispitivanja (spektar napona) usaglašen sa uslovima eksploatacije,
- računskim putem primenom hipoteza o akumulaciji oštećenja.

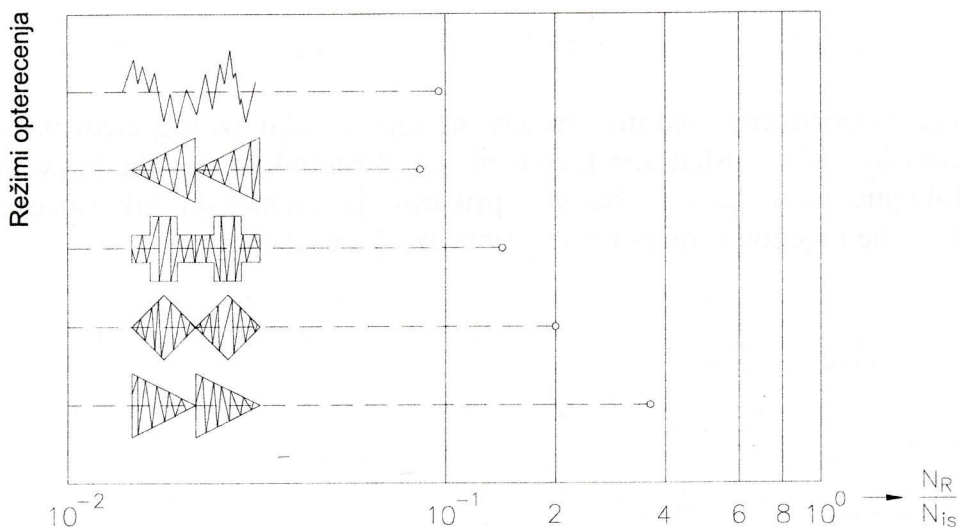
2. Hipoteza o akumulaciji oštećenja

Najviše korišćene hipoteze zasnovane na akumulaciji zamornog oštećenja su prvo postavljena hipoteza linearog akumuliranja oštećenja Polmgren-Minera i hipoteze Korten-Delou, Serensen-Kogaev i Hojbah koje su pokušale da isprave sistematske greške Polmgren-Minero-ove hipoteze, čineći podgrupu modifikovanih linearnih hipoteza. Suma akumulacije oštećenja u opštem obliku glasi:

$$D = \sum_{i=1}^n \left(\frac{n}{N_i} \right) \quad (1)$$

gde se podrazumeva da lom nastaje kada suma dostigne vrednost 1.0. Za nezavarene materijale suma oštećenja varira u širokim granicama $D=0.1$ - 1.0 , a za zavarene konstrukcije velikih dimenzija iskustva pokazuju da je suma oštećenja blizu vrednosti $D=0.5$.

Osnovni nedostatak hipoteza zasnovanih na akumulaciji zamornog oštećenja je u tome što ne uzimaju u obzir "istoriju opterećenja", što u realnim uslovima ima značajan uticaj na brzinu procesa akumulacije oštećenja. Ovo pokazuje i primer istraživanja prikazan na sl.2, gde su za različite režime opterećenja dati odnosi računski izračunatog veka (N_R), Palmgren-Minero-ovom hipotezom i veka određenog ispitivanjem na zamor (N_{is}) za leguru aluminijuma 7075-T6 /2/.



Slika 2. Prikaz odnosa računski određenog (N_R) i ispitanih veka (N_{is})

Eksperimentalna ispitivanja su pokazala da zamorna čvrstoća materijala bitno zavisi ne samo od oblika spektra opterećenja već i od težine spektra (težine režima opterećenja), kao i slučajnog preopterećenja ili udarnog opterećenja tzv. vršnog ili ekstremnog opterećenja.

3. Eksperimentalna ispitivanja

S obzirom da postojeći modeli noseće konstrukcije i mehanizma rotornih bagera, odnosno modeli spoljnog opterećenja, ne omogućavaju kompleksno sagledavanje njihovog uticaja na dinamičko ponašanje rotornog bagera, za poznavanje uticaja nestacionarnosti režima opterećenja i sopstvenih niskofrekventnih oscilacija na radnu čvrstoću odgovornih elemenata zavarene konstrukcije, odnosno zavarenih spojeva noseće konstrukcije rotornog bagera, izvršena su eksperimentalna ispitivanja radne čvrstoće.

3.1. Merenje deformacija i utvrđivanje spektra opterećenja

U cilju utvrđivanja stvarnog naponskog stanja, odnosno promene naprzanja u vremenu na elementima konstrukcije strele rotora i zategama rotornog bagera, izvršena su merenja promene deformacija u različitim otkopnim sredinama (otkrivka, ugalj).

Tako su izvršena:

- merenja deformacija u rasterećenom stanju bagera,
- merenja deformacija pri radu bagera na prazno,
- merenja deformacija u prosečnom radu bagera,
- merenja deformacija pri radu bagera u punom rezu,
- merenja ekstremnih vrednosti, uz prethodno pažljivo ograničenje pri havarisanju.

3.2. Utvrđivanje spektra napona

Diskretizacijom eksperimentalno utvrđenih tokova promene naprezanja u vremenu metodom "rain-flow" izdvojena su obeležja slučajnog procesa opterećenja.

Statističkom obradom izdvojenih raspona napona (σ_r) i srednjih vrednosti napona (σ_m) utvrđeni su spektri radnih napona, na način opisan u radovima /3,4/, za različite režime opterećenja rotornog bagera. Statistički podaci o udelu pojedinih vrsta opterećenja dati su u tab.1.

Tabela 1. Statistički podaci o vremenu rada bagera za razmatrana opterećenja

Opterećenje	U transportu	Prosečno	U punom rezu
Trajanje opterećenja [%]	4	60	36

Grafičkim i analitičkim metodama teorije verovatnoće i matematičke statistike utvrđeno je da za prikaz raspodele raspona radnih napona je najpogodnija Vejbulova raspodela. Na osnovu podataka o režimima rada i njihovom udelu, tab.1., izvedena je kombinovana funkcija napona u opštem obliku:

$$H(\sigma_r) = 1 - F(\sigma_r) = 0.04 \cdot \exp\left[-\left(\frac{\sigma_r}{\eta_1}\right)^{\beta_1}\right] + 0.60 \cdot \exp\left[-\left(\frac{\sigma_r}{\eta_2}\right)^{\beta_2}\right] + 0.36 \cdot \exp\left[-\left(\frac{\sigma_r}{\eta_3}\right)^{\beta_3}\right] + \dots \quad (2)$$

Ukupni spektar raspona napona dobija se u unošenjem i napona pri ekstremnim - vršnim opterećenjima koja se definišu ekstrapolacijom raspodele ekstremnih vrednosti. Ta opterećenja, koja praktično dovode do zaustavljanja rotora u procesu rada, čine 0,05-

0,10 % ukupnog vremena opterećenja, a mogu biti veća do tri puta od opterećenja u punom rezu.

3.3. Procena zamornog veka

3.3.1. Ispitivanje zamorne i radne čvrstoće

Ispitivanja na zamor su najpre izvršena sa konstantnom amplitudom opterećenja, radi sticanja uvida u osnovne karakteristike ponašanja pri zamoru čelika Č.0563 i njegovih zavarenih spojeva, a zatim promenljivom amplitudom opterećenja, odnosno spektrom napona, za utvrđivanje razlika u zamornim osobinama osnovnog materijala i metala šava, kao i za procenu radne čvrstoće zavarenih spojeva i razradu metoda za procenu veka zavarenih konstrukcija rotornih bagera. Ispitani uzorci (krstasti zavareni spoj) prilagođeni su karakterističnim zavarenim spojevima elemenata noseće konstrukcije strele rotora bagera. Eksperimentalna ispitivanja na zamor izvršena su u VTI VJ, Žarkovo, na servohidrauličnoj kidalici MTS.

4. Računska procena veka

Na bazi rezultata eksperimentalnih ispitivanja i utvrđenog jediničnog spektra napona izračunate su karakteristične veličine potrebne za računsku procenu veka trajanja primenom linearnih hipoteza o akumulaciji oštećenja, tab.2.

Tabela 2. Veličine za izračunavanje veka trajanja

i	1	2	3	4	5	6	7	8
1	Δn_{bi}	1	19	58	504	3824	21112	54326
2	$\Delta n_{bi}/n_b$	6×10^{-6}	1.15×10^{-4}	3.5×10^{-4}	3.05×10^{-4}	0.023	0.128	0.329
3	$\sigma_r [N/mm^2]$	141.38	94.26	90.22	80.78	68.66	53.9	40.4
4	σ_{ri}/σ_{rl}	1	0.667	0.638	0.5714	0.486	0.381	0.286
5	$(\sigma_{ri}/\sigma_{rl})^{6.7}$	1	0.066	0.049	0.024	0.0079	0.0016	0.00023
6	$(\Delta n_{bi}/n_b)(\sigma_{ri}/\sigma_{rl})$	6×10^{-6}	7.67×10^{-5}	2.23×10^{-4}	1.74×10^{-3}	0.0112	0.0488	0.094
7	$(\Delta n_{bi}/n_b)(\sigma_{ri}/\sigma_{rl})^{6.7}$	6×10^{-6}	7.63×10^{-6}	1.72×10^{-5}	7.17×10^{-5}	1.82×10^{-4}	2×10^{-4}	7.46×10^{-5}
8	$(\sigma_{ri}/\sigma_{rl})^{12.4}$	1	6.59×10^{-3}	3.8×10^{-3}	9.68×10^{-4}	1.29×10^{-4}	6.41×10^{-6}	1.8×10^{-7}
9	$(\Delta n_{bi}/n_b)(\sigma_{ri}/\sigma_{rl})^{12.4}$	6×10^{-6}	7.58×10^{-7}	1.33×10^{-6}	2.95×10^{-6}	0.03×10^{-4}	0.82×10^{-6}	0.59×10^{-7}
								0.61×10^{-9}

4.1. Hipoteza Polmgren-Miner

Funkcija interakcije napona $a_p=1$.

Vek trajanja:

$$N_{R_{p-m}} = \frac{N_1}{\sum_{i=1}^j \frac{\Delta n_{bi}}{n_b} \left(\frac{\sigma_{ri}}{\sigma_{rl}} \right)^m} = \frac{586650}{13.63 \cdot 10^{-6}} = 4.304 \cdot 10^{10} \quad (3)$$

j=2 - nivoi napona u spektru koji su veći od trajne zamorne čvrstoće.

4.2. Hipoteza Korten-Delon

Funkcija interakcije napona $a_p=1$.

Vek trajanja:

$$N_{R_{c,d}} = \frac{N_1}{\sum_{i=1}^k \frac{\Delta n_{bi}}{n_b} \cdot \left(\frac{\sigma_{ri}}{\sigma_{rl}} \right)^m} = \frac{586650}{566.903 \cdot 10^{-6}} = 1.0348 \cdot 10^9 \quad (4)$$

k=8 - svi nivoi napona u spektru.

4.3.Hipoteza Serensen-Kogaev

Funkcija interakcije napona:

$$\alpha_p = \frac{\frac{\sigma_1}{\sigma_D} \cdot \sum_{i=1}^k \frac{\Delta n_{bi}}{n_b} \cdot \left(\frac{\sigma_{ri}}{\sigma_{rl}} \right)^m - 0.5}{\frac{\sigma_1}{\sigma_D} - 0.5} = \frac{\frac{141.38}{92.59} \cdot 0.5457 - 0.5}{\frac{141.38}{92.59} - 0.5} = 0.325 \quad (5)$$

Vek trajanja:

$$N_{R_{s,k}} = \frac{\alpha_p \cdot N_1}{\sum_{i=1}^j \frac{\Delta n_{bi}}{n_b} \cdot \left(\frac{\sigma_{ri}}{\sigma_{rl}} \right)^8} = \frac{0.325 \cdot 586650}{13.63 \cdot 10^{-6}} = 1.397 \cdot 10^{10} \quad (6)$$

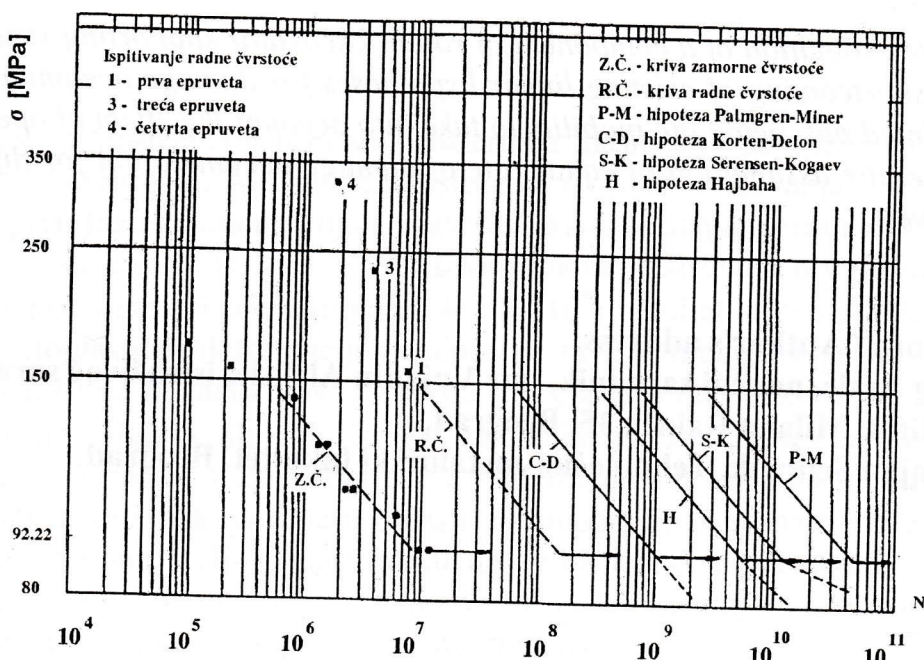
k=8 - svi nivoi napona u spektru.

4.4.Hipoteza Hajbaha

$$N_{R_h} = \frac{N_1}{\sum_{i=1}^j \frac{\Delta n_{bi}}{n_b} \cdot \left(\frac{\sigma_{ri}}{\sigma_{rl}} \right)^m + \left(\frac{\sigma_1}{\sigma_D} \right)^{m-1} \cdot \sum_{i=j+1}^k \frac{\Delta n_{bi}}{n_b} \cdot \left(\frac{\sigma_{ri}}{\sigma_{rl}} \right)^{2m-1}} = \frac{586650}{13.63 \cdot 10^{-6} + \left(\frac{141.38}{92.59} \right)^{5.7} \cdot 8.129 \cdot 10^{-6}} \quad (7)$$

$$N_{R_h} = 5.62 \cdot 10^9$$

Grafički prikaz eksperimentalnih rezultata i rezultata dobijenih na bazi linearnih hipoteza o akumulaciji oštećenja dat je na sl.3.



Slika 3. Prikaz eksperimentalnih rezultata i rezultata proračuna

5. Zaključak

Rezultati ispitivanja na zamor sa konstantnom amplitudom opterećenja (S-N dijagram) i spektrom napona (dijagram radne čvrstoće) omogućuju proučavanje zamorne čvrstoće delova i elemenata noseće konstrukcije rotornih bagera i istraživanje valjanosti teorije kumulativnog oštećenja. Upoređenje rezultata eksperimentalnog ispitivanja sa računskom procenom veka je značajno za odgovor kako tačno i do koje mere rezultati ispitivanja sa promenljivom amplitudom opterećenja mogu biti preneti na druge konstrukcije sa istom "istorijom naprezanja" ili na isti tip konstrukcija, ali sa drugačijom istorijom naprezanja.

Literatura

- [1] TAKRAF SRs 1300.26/5.0 +VR ± 10: Dokumentacija proizvođača opreme.
- [2] Arsić M., Sedmak S., Ćirković B.: Analiza uzroka havarije zavarenog nosača satelita reduktora za pogon rotora bagera SRs 1300.26/5.0, Međunarodno savetovanje "Zavarivanje 96", Beograd, 1996, str.29.
- [3] Arsić M., Sedmak S.: Spektar opterećenja za zamorna ispitivanja zavarenih spojeva rotornog bagera, Časopis Zavarivač (1/1995), str.7-12.
- [4] Arsić M.: Korelacija zamorne čvrstoće i praga zamora zavarenih spojeva, Doktorska disertacija, Priština, 1995.

OPERATING LOAD SEQUENCE EFFECTS ON THE RATE OF DAMAGE ACCUMULATION OF ROTARY EXCAVATOR SUPPORTING STRUCTURE

M. Arsic, S. Sedmak, V. Aleksic

Using the life estimation of a component of rotary excavator supporting structure as an example, a shortcoming of existing linear hypotheses for damage accumulation calculation is pointed out, being the inability to take into account the effect of operating load sequence, i.e. the assumption of equal rate of damage accumulation for different load spectrum levels.

Adresa autora / Author's address:

**dr Miodrag Arsić, naučni saradnik, mr Vujadin Aleksić, istraživač saradnik
GOŠA Institut, Milana Rakića 35, Beograd,
prof. dr Stojan Sedmak, Tehnološko-metallurški fakultet, Beograd.**